

УДК 538.245

ОБ АНОМАЛЬНОМ ПОВЕДЕНИИ МАГНИТНЫХ СВОЙСТВ ФЕРРИТА-ХРОМИТА FeCoCrO_4

*К. П. Белов, А. Н. Горяга, Р. Р. Аннаев, А. И. Кокорев,
А. Н. Лямзин*

Изучено поведение намагниченности σ_s феррита FeCoCrO_4 от 4.2 К до температуры Кюри (358 К). Установлено, что у данного феррита имеет место переход из парамагнитного состояния в кластерное «спиновое стекло». Обнаружено, что при нагревании данного феррита в районе 100 К происходит резкое уменьшение величины σ_s . На основании полученных результатов и анализа характера обменных взаимодействий высказано предположение, что у феррита FeCoCrO_4 при $T \approx 100$ К имеется переход из смешанной магнитной фазы (сперимагнетизм + кластерное «спиновое стекло») в кластерное «спиновое стекло». Полученные результаты хорошо согласуются с выводами теории Ван-Хэммена.

Несмотря на то что магнитные свойства феррита-хромита FeCoCrO_4 исследуются давно [1–5], до сих пор нет ясности о характере его магнитной структуры, величине магнитного момента n_0 и температуре Кюри T_c . Например, согласно результатам указанных работ, экспериментальные значения n_0 лежат в пределах 1.3–2.0 μ_B , а величины T_c — в интервале 330–350 К. При этом авторы считают, что в данном феррите имеет место неколлинеарное магнитное упорядочение. Однако недавно появилась работа [6], в которой высказано предположение, что магнитная структура феррита FeCoCrO_4 носит сложный характер: в интервале температур 275– T_c К — «不稳定ный ферримагнетик», а в интервале 80–275 К — кластерное «спиновое стекло». Имеются также большие расхождения в катионном распределении: согласно [1], оно имеет вид $\text{Fe}^{3+}[\text{Co}^{2+}\text{Cr}^{3+}]\text{O}_4^{2-}$, тогда как из [3, 4], — $\text{Fe}_{0.5}^{3+}\text{Co}_{0.5}^{2+}[\text{Fe}_{0.5}^{3+}\text{Co}_{0.5}^{2+}\text{Cr}^{3+}]\text{O}_4^{2-}$.

В указанных выше работах не проводились измерения намагниченности при температуре жидкого гелия, а значения спонтанной намагниченности σ_s определялись путем экстраполяции кривой $\sigma_s(T)$ от температуры жидкого азота к 0 К. Следует указать также, что магнитные поля, используемые в этих работах, не превышали 10 кЭ. Таких полей было явно недостаточно для завершения процессов технического намагничивания у данного феррита, в октаэдрических узлах которого находятся ионы $\text{Co}^{2+}(3d^7)$ с основным состоянием орбитальный триплет. В этом случае магнитный момент ионов Co^{2+} определяется не только спиновым, но и неполностью «замороженным» орбитальным моментом. Согласно теории одноионной анизотропии, эти ионы дают большой вклад в магнитную анизотропию ферритов.

Для выяснения характера магнитной структуры феррита FeCoCrO_4 и получения точных значений n_0 и T_c в нашей работе были проведены измерения его удельной намагниченности σ в интервале температур 4.2–40 К в полях до 42 кЭ (сверхпроводящий соленоид), а в интервале 80–400 К в полях до 10 кЭ (электромагнит). Обработка экспериментальных данных по намагниченности в районе точки Кюри была проведена по методу «термодинамических коэффициентов» [7], что дало возможность получить температурную зависимость $\sigma_s(T)$ и, следовательно, найти точное значение T_c .

Синтез поликристаллического образца FeCoCrO_4 был проведен по керамической технологии. Оба отжига проводились на воздухе в течение 10 ч при 950 и 1050 °C соответственно. Рентгеноструктурный анализ при комнатной температуре показал, что образец является однофазной шпинелью с параметром решетки $a=8.253 \text{ \AA}$.

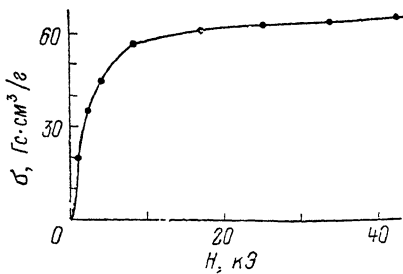


Рис. 1. Изотерма намагниченности σ_s , снятая при $T=4.2 \text{ K}$.

порядочение. Используя значение кривой $\sigma_s(T)$ к 0 К (рис. 2), мы определили, что величина $n_{0\text{эксп}}$ для данного феррита составляет $2.5 \pm 0.1 \mu_B$, что значительно выше значений n_0 , полученных в работах [2-5].

На рис. 1 приведена изотерма намагниченности $\sigma(H)$, снятая при 4.2 К в полях до 42 кЭ. Видно, что в сильных полях на этой изотерме отсутствует насыщение. Такое поведение намагниченности не связано с преодолением сил магнитной анизотропии, так как при этой температуре коэрцитивная сила не превышала 1.32 кЭ. Этот результат свидетельствует о том, что при температуре 4.2 К в данном феррите-хромите отсутствует неелевское магнитное упорядочение.

На рис. 2 приведены температурные зависимости спонтанной намагниченности σ_s , коэрцитивной силы H_c и эффективной константы магнитной анизотропии $K_{\text{эфф}}$. Видно, что σ_s , определенное путем экстраполяции к 0 К, не зависит от температуры вплоть до 100 К, а затем падает с уменьшением температуры. Коэрцитивная сила H_c и эффективная константа $K_{\text{эфф}}$ уменьшаются с ростом температуры.

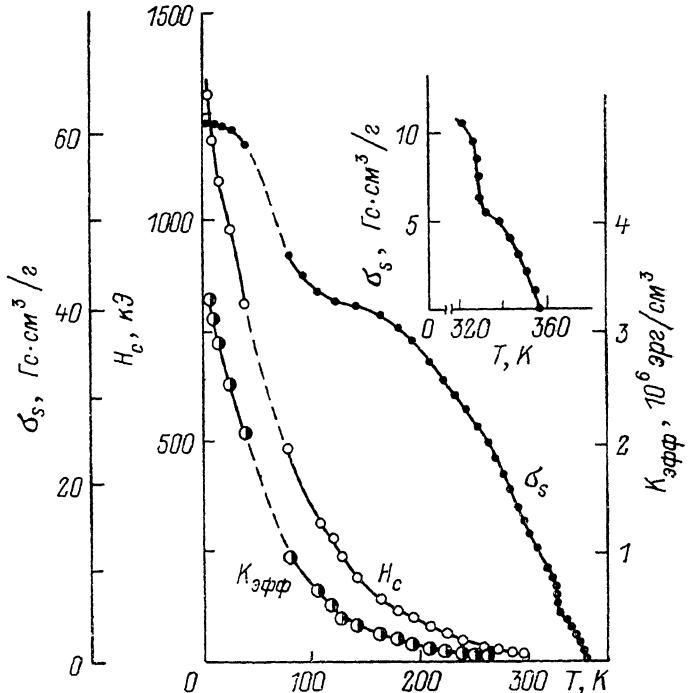


Рис. 2. Температурные зависимости спонтанной намагниченности σ_s , коэрцитивной силы H_c и эффективной константы магнитной анизотропии $K_{\text{эфф}}$.

Как известно, точное катионное распределение у ферритов-шпинелей можно определить по экспериментальным значениям n_0 только в том случае, если имеет место неелевское магнитное упорядочение как в октаэдрической (B), так и в тетраэдрической (A) подрешетках. Поскольку нами установлено, что у данного феррита отсутствует такое магнитное упорядочение, то не имело смысла определять его катионное распределение, используя полученное нами экспериментальное значение n_0 . Однако представляло интерес выяснить, какое из катионных распределений $\text{Fe}^{3+}[\text{Co}^{2+}\text{Cr}^{3+}]O_4^{2-}$ (I) или $\text{Fe}_{0.5}^{3+}\text{Co}_{0.5}^{2+}[\text{Fe}^{3+}\text{Co}^{2+}\text{Cr}^{3+}]O_4^{2-}$ (II) ближе к действительному. С этой целью необходимо было рассчитать при условии

неелевского магнитного упорядочения значения $n_{0\text{ теор}}$ для этих катионных распределений и сравнить их с полученным нами $n_{0\text{ эксп}}$. Были использованы следующие величины магнитных моментов ионов: Fe^{3+} — $5\mu_B$, Cr^{3+} — $3\mu_B$, Co_A^{2+} — $3\mu_B$, Co_B^{2+} — $3.6\mu_B$ (с учетом неполнотой «замороженного» орбитального момента). Для катионного распределения (I) было найдено $n_{0\text{ теор}}=1.6\mu_B$, а для распределения (II) $n_{0\text{ теор}}=3.3\mu_B$. Учитывая тот факт, что для феррита FeCoCrO_4 полученное значение $n_{0\text{ эксп}}$ составляет $2.5\mu_B$, можно с уверенностью сказать, что катионное распределение (II) более соответствует действительному.

В работе [6] было обнаружено, что у феррита-хромита FeCoCrO_4 температурная зависимость восприимчивости $\chi(T)$, снятая в поле $H=2\text{ Э}$,

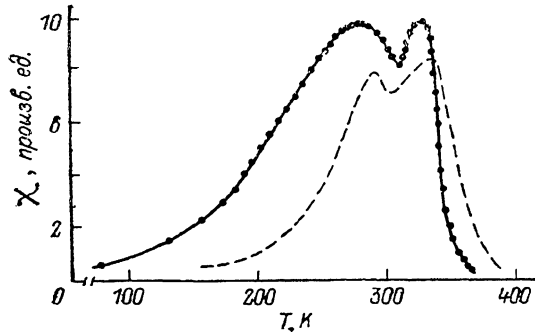


Рис. 3. Температурная зависимость восприимчивости при $H=40\text{ Э}$.

Штриховая линия — $\chi(T)$ из [6].

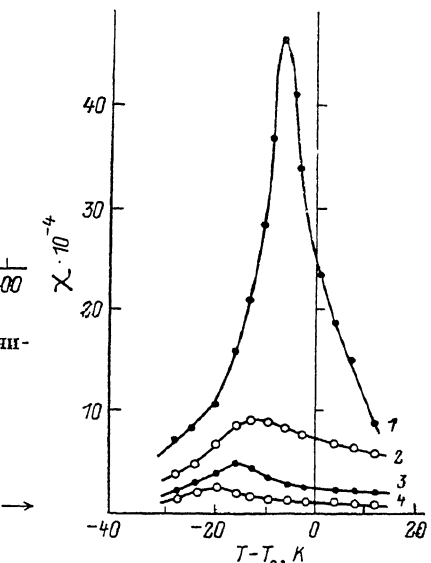


Рис. 4. Зависимости $(\chi_{\text{диф}})_n(T)$.

H , кЭ: 1 — 1, 2 — 2, 3 — 4, 4 — 8.

носит аномальный характер. На рис. 3 штриховой линией приведена данная зависимость $\chi(T)$, из которой видно, что имеет место раздвоение максимума в районе точки Кюри. С целью проверки этого факта нами были проведены измерения зависимости $\chi(T)$ для исследуемого феррита (результаты приведены сплошной линией на рис. 3). Оказалось, что полученная нами зависимость $\chi(T)$ имеет такой же характер, как и в работе [6].

Представляло интерес выяснить, каково поведение спонтанной намагниченности σ_s в том интервале температур, где наблюдается аномалия в зависимости $\chi(T)$. Для получения точных значений спонтанной намагниченности σ_s мы применили метод «термодинамических коэффициентов» [7]. Намагниченность магнитных материалов вблизи температуры Кюри подчиняется уравнению

$$\alpha\sigma + \beta\sigma^3 = H, \quad (1)$$

где $\sigma = \sigma_i + \sigma_s$; σ_i — намагниченность парапроцесса; σ_s — спонтанная намагниченность; α , β — термодинамические коэффициенты. В области $T < T_c$ при $H=0$ $\sigma_i=0$ и $\sigma_s^2=-\alpha/\beta$. Построив зависимости $(H/\sigma)(\sigma^2)_{T=\text{const}}$, мы определили термодинамические коэффициенты α и β , из которых рассчитали значение σ_s и построили ее температурную зависимость (рис. 2). Оказалось, что при той температуре, где наблюдается раздвоение максимума на кривой $\chi(T)$, имеет место аномалия на зависимости $\sigma_s(T)$. Видно, что рост производной $|\Delta\sigma_s/\Delta T|$ наблюдается не только при подходе к точке Кюри T_c (358 K), но и при $T \approx 330\text{ K}$. Следовательно, можно считать, что аномалия на кривой $\chi(T)$ обусловлена скачкообразным ростом σ_s при $T \approx 330\text{ K}$.

В интервале температур 4.2–300 К значения σ_s были получены экстраполяцией линейной части изотерм намагниченности к $H=0$. Оказалось, что при $T \approx 100$ К также имеется аномалия на зависимости $\sigma_s(T)$; при понижении температуры происходит увеличение спонтанной намагниченности. Следовательно, полученные значения σ_{s0} в работах [2–5] для данного феррита путем экстраполяции кривой $\sigma_s(T)$ от температуры жидкого азота к 0 К являются явно заниженными.

На основании полученных результатов можно сделать вывод, что в феррите FeCoCrO_4 ниже температуры Кюри имеют место еще два магнитных перехода — при $T \approx 100$ и ≈ 330 К соответственно. Представляло интерес разобраться в природе данных переходов.

Важным параметром для изучения характера превращения из магнитоупорядоченного состояния в неупорядоченное является поведение дифференциальной восприимчивости парапроцесса $(\chi_{\text{диф}})_H = (\partial\sigma/\partial H)_H$. При переходе из парамагнитного состояния в ферро- или ферримагнитное максимумы на кривых $(\chi_{\text{диф}})_H(T)$ с увеличением поля смешаются в сторону высоких температур, тогда как, согласно [8], при переходе парамагнетизма — «спиновое стекло» эти максимумы смешаются в сторону низких температур.

Непосредственное измерение величин $\chi_{\text{диф}}$ магнитных веществ с малой намагниченностью является довольно трудоемкой задачей. Однако метод «термодинамических коэффициентов» позволяет сравнительно просто рассчитать величины $\chi_{\text{диф}}$. Дифференцируя уравнение (1) по H , получаем

$$\alpha(\partial\sigma/\partial H) + 3\beta\sigma^2(\partial\sigma/\partial H) - 1 = 0$$

и, следовательно,

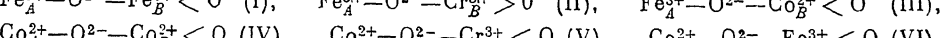
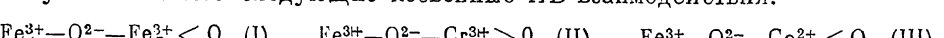
$$(\partial\sigma/\partial H)_H = (\chi_{\text{диф}})_H = -1/(\alpha + 3\beta\sigma^2). \quad (2)$$

Таким образом, зная для каждой температуры значения коэффициентов α , β и величину $(\sigma)_H$, можно по формуле (2) рассчитать $\chi_{\text{диф}}$ и, следовательно, найти ее температурную зависимость в области температуры Кюри.

Из рис. 4, где приведены рассчитанные кривые $(\chi_{\text{диф}})_H(T)$ для феррита FeCoCrO_4 , видно, что с увеличением поля максимумы на этих кривых смешаются в сторону низких температур. На основании этого можно считать, что при $T_c = 358$ К имеет место переход парамагнетизм — «спиновое стекло». По-видимому, реализуется кластерное, а не идеальное «спиновое стекло», так как последнее редко осуществляется на практике, поскольку магнитные моменты ионов имеют сильную тенденцию группироваться в кластеры. В пользу кластерного «спинового стекла» также свидетельствует тот факт, что данный образец обладает достаточно большой спонтанной намагниченностью. Поэтому предположение о том, что в данном феррите имеется переход парамагнетизм — «неустабильный» ферримагнетик, сделанное в [6], является некорректным.

В последнее время большое внимание уделяется исследованию магнитных материалов не только со структурой «спиновое стекло», но и с фruстрированными магнитными структурами (сперо-, асперо- и сперимагнетики). В таких структурах имеются отдельные достаточно большие спонтанно-намагниченные области, в которых доминирует ферро-, антиферро- или ферримагнитный порядок. Согласно [9], необходимым условием для возникновения в нераэбавленных магнитных материалах «спинового стекла» и фрустрированных магнитных структур является наличие двух и более видов магнитных ионов, между которыми имеют место обменные взаимодействия, отличающиеся как по знаку, так и по величине.

Для образца с катионным распределением $\text{Fe}^{3+}_{0.5}\text{Co}^{2+}_{0.5}[\text{Fe}^{3+}_{0.5}\text{Co}^{2+}_{0.5}\text{Cr}^{3+}]O_4$ могут иметь место следующие косвенные AB -взаимодействия:



Согласно правилам Гуденафа—Канамори [10–12], отрицательный обмен (I) между ионами $\text{Fe}_A^{3+}(e_g^2 t_{2g}^3)$ и $\text{Fe}_B^{3+}(t_{2g}^3 e_g^2)$ будет наиболее сильным, так как он происходит с участием наполовину заполненных t_{2g} - и e_g -орбиталей. Вторым по силе будет положительный обмен (II) между ионами $\text{Fe}_A^{3+}(e_g^2 t_{2g}^3)$ и $\text{Cr}_B^{3+}(t_{2g}^3 e_g^0)$. Что касается последних четырех отрицательных обменов, то они намного слабее первых двух, поскольку у ионов $\text{Co}_A^{2+}(e_g^1 t_{2g}^3)$ и $\text{Co}_B^{2+}(t_{2g}^5 e_g^2)$ имеются орбитали, заполненные более чем наполовину.

В структуре шпинели между октаэдрическими катионами паряду с косвенным AB -взаимодействием может иметь место также прямое катион-катионное взаимодействие. Учитывая тот факт, что последнее взаимодействие значительно сильнее 90-градусного катион-анион-катионного, мы ограничимся только его рассмотрением. В исследуемом ферритохромите такими взаимодействиями будут $\text{Cr}_B^{3+}-\text{Cr}_B^{3+} < 0$, $\text{Fe}_B^{3+}-\text{Fe}_B^{3+} < 0$, $\text{Cr}_B^{3+}-\text{Fe}_B^{3+} < 0$, которые, согласно правилам Гуденафа, имеют отрицательный знак и обладают достаточной силой: 300, 200 и 100 К соответственно [10]. Так как в структуре шпинели угол между катионами в A -узлах мал, то косвенное AA -взаимодействие очень слабо и им, как правило, преубегают.

Таким образом, на основании анализа обменных взаимодействий мы пришли к выводу, что у феррита FeCoCrO_4 может возникнуть как фрустрированная магнитная структура, так и «спиновое стекло», поскольку в его состав входят три вида магнитных катионов, между которыми имеются обменные взаимодействия, разные по знаку и по величине.

Мы предполагаем, что в образце FeCoCrO_4 при $T \approx 358$ К переход из парамагнитного состояния в кластерное «спиновое стекло» происходит вследствие того, что сильному отрицательному AB -взаимодействию $\text{Fe}_A^{3+}-\text{O}^{2-}-\text{Fe}_B^{3+}$ противоборствуют взаимодействия $\text{Cr}_B^{3+}-\text{Cr}_B^{3+} < 0$ и $\text{Fe}_A^{3+}-\text{O}^{2-}-\text{Cr}_B^{3+} > 0$, в то время как при $T \approx 100$ К происходит переход из состояния кластерного «спинового стекла» во фрустрированную магнитную структуру (сперимагнетизм). Не исключено, что данный переход обусловлен включением в противоборство более слабых отрицательных AB -взаимодействий (III)–(VI). Однако нельзя утверждать, что ниже 100 К все кластеры укрупняются. По-видимому, часть кластеров с близким порядком все-таки остается, т. е. имеет место переход в смешанную фазу (сперимагнетизм+кластерное «спиновое стекло»).

Таким образом, полученные результаты для феррита FeCoCrO_4 хорошо согласуются с выводами теории Ван-Хэммепа [12]: когда при 0 К в магнитных соединениях имеется смешанная фаза, то должны наблюдаться два магнитных перехода. По мере возрастания температуры первый переход будет из смешанной фазы в «спиновое стекло», а второй — из состояния «спинового стекла» в парамагнитное.

Для поликристаллических образцов, зная коэрцитивную силу H_c и спонтанную намагниченность I_s , можно рассчитать величину эффективной константы магнитной анизотропии $K_{\text{эфф}}$

$$K_{\text{эфф}} = 4\pi I_s H_c. \quad (3)$$

Из рис. 3, где приведена рассчитанная зависимость $K_{\text{эфф}}(T)$, видно, что с понижением температуры резкий рост величины $K_{\text{эфф}}$ у феррита FeCoCrO_4 происходит при $T \leq 100$ К, что свидетельствует о возникновении спонтанно-намагниченных областей с дальним магнитным порядком.

Представляло интерес выяснить, что является причиной роста величины σ , при $T \leq 330$ К. Ранее, в [14], мы установили, что у образца CoFe_2O_4 при $T \leq 330$ К кооперативное спин-орбитальное взаимодействие октаэдрических ионов Co^{2+} играет существенную роль в формировании его магнитных свойств. Не исключено, что у феррита FeCoCrO_4 рост величины σ , связан с увеличением магнитных моментов кластеров вследствие частичного «размораживания» орбитальных моментов у октаэдрических ионов Co^{2+} .

Список литературы

- [1] McGuire T. R., Greenwald S. W. // Sol. St. Phys. and Telecomm. 1960. V. 3. N 1. P. 50—71.
- [2] Бляссе Ж. Кристаллохимия ферропримесей. М.: Металлургия, 1968. С. 184.
- [3] Tsushima T. J. // Phys. Soc. Jap. 1963. V. 18. N 8. P. 1162—1166.
- [4] Белов В. Ф., Ованесян Н. С. и др. // ЖЭТФ. 1970. Т. 59. № 5. С. 1484—1489.
- [5] Больщова К. М., Ёлкина Т. А., Лукшина М. М. // Вестник МГУ. 1974. № 3. С. 324—328.
- [6] Muraleedharan K., Srivastava J. K. et al. // J. Phys. C: Sol. St. Phys. 1985. V. 18. N 31. P. 5897—5908.
- [7] Белов К. П., Горяга А. Н. // ФММ. 1956. Т. 2. С. 4.
- [8] Verbeck B. H. et al. // J. de Physique Colloque C6, supplement au N 8. 1978. V. 39. N 9. P. 916—917.
- [9] Coey J. M. D. // J. Appl. Phys. 1978. V. 49. N 18. P. 1646—1653.
- [10] Гуденаф Д. Магнетизм и химическая связь. М.: Металлургия, 1968. С. 328.
- [11] Goodenough J. B., Loeb A. H. // Phys. Rev. 1955. V. 98. N 3. P. 391—395.
- [12] Kanamory J. // Phys. Chem. Sol. 1959. V. 10, N 1. P. 87—93.
- [13] Van Hemmen J. I. // Phys. Rev. Lett. 1982. V. 49. N 6. P. 409—412.
- [14] Белов К. П., Горяга А. Н., Лямзин А. Н. // Деп. ВИНИТИ 3363-В87.

Московский государственный
университет им. М. В. Ломоносова
Москва

Поступило в Редакцию
28 ноября 1988 г.